



Εθνικό και Καποδιστριακό Πανεπιστήμιο Αθηνών  
Τμήμα Φυσικής – Τομέας Πυρηνικής Φυσικής & Στοιχειωδών Σωματιδίων  
Σταθμός Κοσμικής Ακτινοβολίας



# Μάθημα Επιλογής: **Αστροσωματιδιακή και Κοσμική Ακτινοβολία**

<http://cosray.phys.uoa.gr>

# ΥΛΗ ΚΟΣΜΙΚΗΣ

- **ΕΙΣΑΓΩΓΗ**
- **ΓΑΛΑΞΙΑΚΗ ΚΟΣΜΙΚΗ ΑΚΤΙΝΟΒΟΛΙΑ\_ΣΥΣΤΑΣΗ ΠΡΩΤΟΓΕΝΟΥΣ**  
(πηγές, προέλευση, ιδιότητες, πυκνοτητα, ισοτροπια, ενεργειακό φάσμα)
- **ΑΤΜΟΣΦΑΙΡΙΚΟΙ ΚΑΤΑΙΓΙΣΜΟΙ**  
(σύσταση δευτερογενούς Κ.Α. –Ιδιότητες )
- **ΔΙΑΠΛΑΝΗΤΙΚΟΣ ΧΩΡΟΣ\_ ΜΗΧΑΝΙΣΜΟΙ ΕΠΙΤΑΧΥΝΣΗΣ ΚΑ** ( επιδραση ηλιοσφαιρας στη διαμόρφωση Κ.Α., επιτάχυνση σωματιδίων σε ισχυρά κρουστικά κύματα \_ $2^{\circ}$  Fermi, δυναμικος μηχανισμός \_\_ $1^{\circ}$  Fermi)
- **ΔΙΑΜΟΡΦΩΣΗ ΚΑ ΑΠΟ ΤΟ ΓΗΙΝΟ ΜΑΓΝΗΤΙΚΟ ΠΕΔΙΟ**  
( δυναμική κοσμικου σωματιδιου στο γηινο μαγν.πεδίο\_θεωρία Stormer, μαγνητική δυσκαμψία, ασυμπτωτικές τροχίες)

# ΥΛΗ ΚΟΣΜΙΚΗΣ

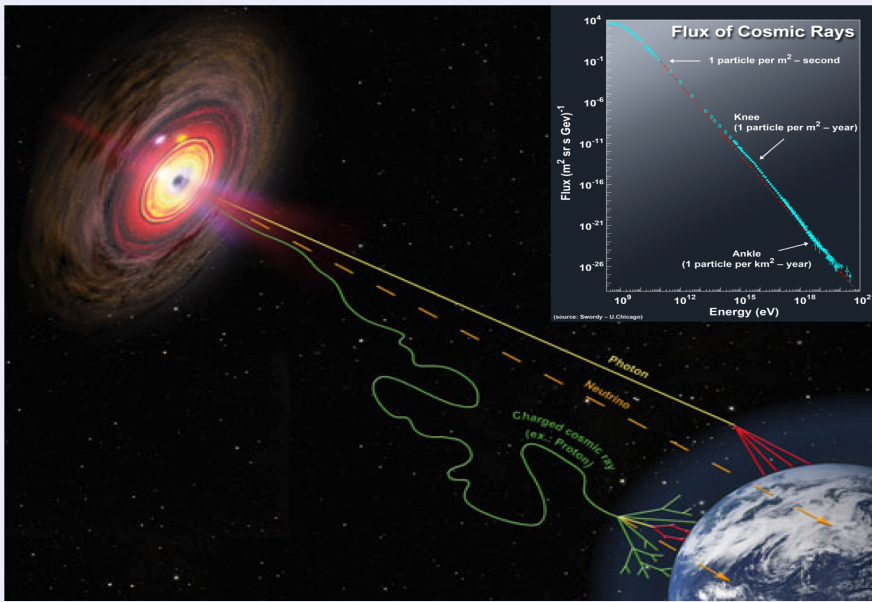
- ΓΕΓΟΝΟΤΑ ΚΑ (Ground Level Enhancements \_GLE, Forbush Decreases \_FD, Magnetospheric events)
- ΚΑΤΑΓΡΑΦΗ ΚΑ ΑΠΟ ΕΠΙΓΕΙΑ ΚΑΙ ΔΟΡΥΦΟΡΙΚΑ ΣΥΣΤΗΜΑΤΑ (Μετρητές Νετρονίων, Δίκτυο μετρητών)
- ΣΥΓΧΡΟΝΗ ΕΡΕΥΝΑ ΦΥΣΙΚΗΣ ΚΑ- ΕΦΑΡΜΟΓΕΣ ( Προειδοποιητικά σήματα\_ Precursors and GLE Alert, Δοσιμετρία, Forecasting of SPEs, Υγεία, Κλίμα)

# Κοσμική Ακτινοβολία

σωμάτια υψηλών ενέργειών ( $10^6$  eV -  $10^{21}$  eV )

Εξωδιάστημα + δευτερογενή παραγόμενα ( γήινη ατμόφαιρα) (D.Perkins, 2003)

Σωματίδια και φωτόνια με ενέργειες τουλάχιστον κάποιες ταξεις μεγέθους > από τη μέση ενέργεια θερμικών σωματιδίων του πλάσματος υποβάθρου.( L. Dorman, 2014).



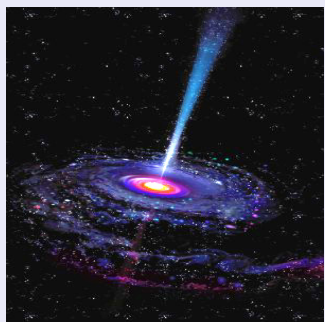
## ΠΗΓΕΣ?

- εντός Γαλαξία (σταθεροί αστέρες-ηλιος, καινοφανείς και supernova, παλομμενοι αστέρες, αστερες νετρονίων διαστρική ύλη)
- εκτός Γαλαξία (Ενεργοί Γαλαξιακοί Πυρήνες AGN, black holes)

# ΠΡΟΕΛΕΥΣΗ

## Εξωγαλαξιακή CR

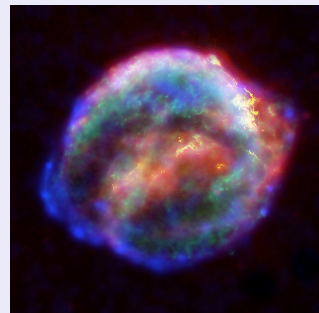
- πολύ υψηλές ενέργειες μέχρι  $10^{21}$ eV  
(radio galaxies, quasars)



Active Galactic Nuclei (AGN), Gamma-Ray Bursts (GRB)

## Γαλαξιακή CR

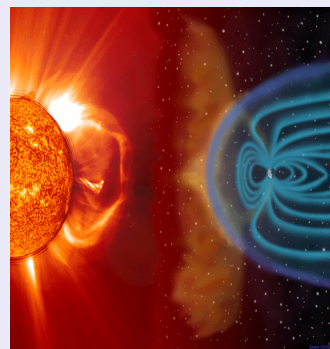
- υψηλές ενέργειες μέχρι  $10^{15} - 10^{16}$ eV  
(supernova explosions, magnetospheres of pulsars, double stars)



SNR (Supernova Remnant)

## Ηλιακή CR

- ενέργειες μέχρι 15-30 GeV



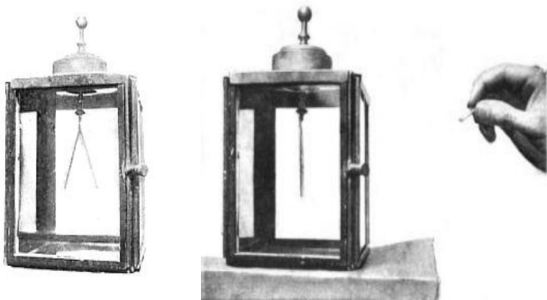
## Διαπλανητική CR

- Ενέργειες 10-100MeV  
(shock wave at the boundary of heliosphere and external to Earth Magnetosphere)

# Ανακάλυψη των Κοσμικών Ακτίνων – Ανάπτυξη της Ερευνας

**1900-1909** : Πειράματα σχετικά με τον ιονισμό και την αγωγιμότητα του αέρα (start Coulomb 1785) . Υπόθεση μονο γ-ακτινοβολία μπορεί να δημιουργήσει παρατηρησιμό ιονισμό του αέρα. (έχει εισαχθεί η α,-β και γ ακτινοβολία)

*Rutherford and Cooke (1903)* Παρατηρήσεις με ηλεκτροσκόπιο (στρωμα μολύβδου) .Με εκπληξη διαπίστωσαν ότι ακόμη και με θωράκιση 5 τονων Pb ο ιονισμός του αέρα παραμένει 6 pairs of ions in cm<sup>3</sup> per second! (U ↓). Radioactive pollution of a material within the device (self radiation of the device)



Discharge of an electroroscope by a radioactive material (Duncan 1902)



Ιονισμός του αέρα - ραδιενεργή προέλεση

# Ανακάλυψη των Κοσμικών Ακτίνων – Ανάπτυξη της Ερευνας

K. Kurz (1909): τρεις πιθανές πηγές παρατηρήσιμου ιονισμού:

- γ- rays από το φλοιό της Γης
- Ακτινοβολία από την ατμόσφαιρα
- Ακτινοβολία από το διάστημα

**rejected as improbable.**

1908-1909 μεταφέρουν τη συσκευή από την επιφάνεια προς τα κάτω το κάτω μέρος ενός ορυχείου αλατιού, παρατηρούν πτώση 28% .

*In agreement with the literature, the Earth is the source of the penetrating radiation and that certain waters, soils and salt deposits, are comparatively free from radioactive substances, and can therefore act as efficient screens (Eve, Rutherford)*

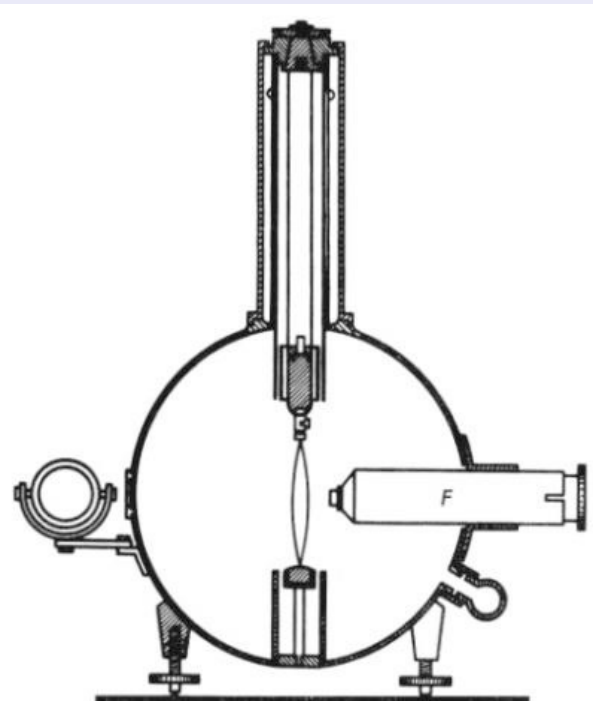
## ΚΥΡΙΑΡΧΗ ΙΔΕΑ 1909

**Η Γη αποτελεί την κυρια πηγή της ακτινοβολίας-γ και ορισμένα εδάφη, νερα και αποθέσεις αλάτιών είναι συγκριτικά απαλαγμένα από ραδιενεργές ουσίες.**

# Ανακάλυψη των Κοσμικών Ακτίνων – Ανάπτυξη της Ερευνας

**1909** : Theodor Wulf βελτίωσε το ηλεκτροσκόπιο και το έκανε φορητό.

Πρώτη προσπάθεια να μελετήσει τη μεταβολή του ιονισμού με τη απόσταση από το έδαφος τόσο την ημέρα όσο και τη νύχτα!



Η αποφασιστική μέτρηση\_  
Πάσχα 1909 ταξιδί στο  
Παρίσι με αρκετά  
ηλεκτροσκόπια.



*Electroscope of T. Wulf (1909). From I. Dorman (M1981).*

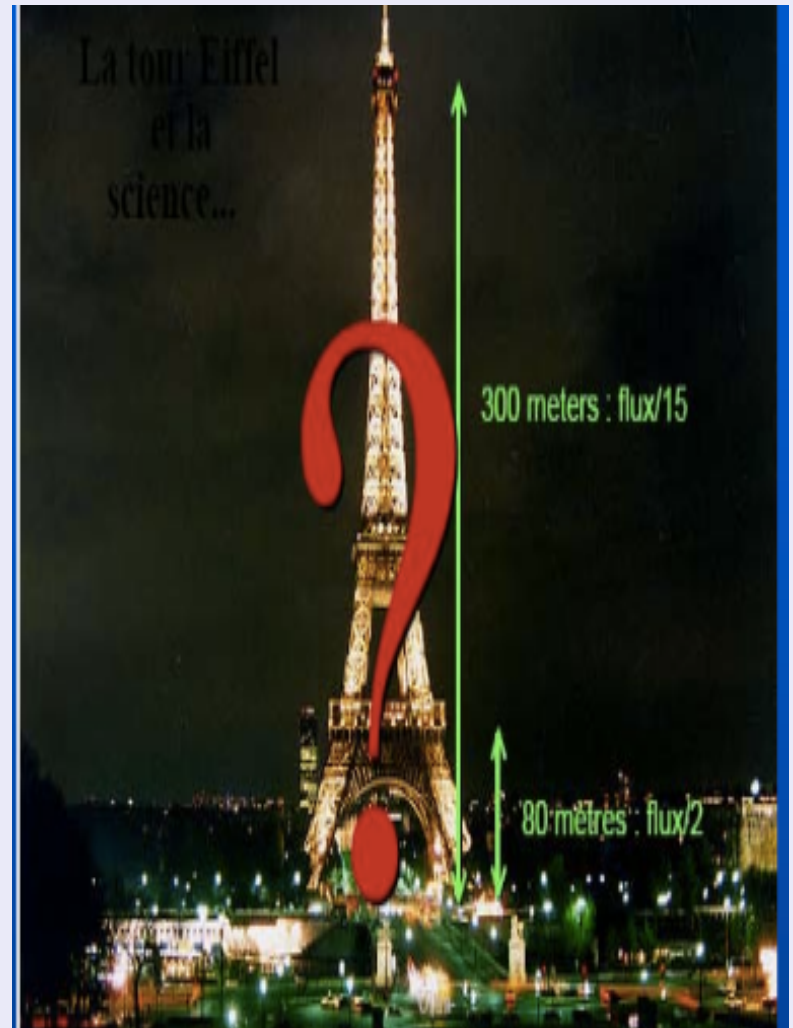
# Ανακάλυψη των Κοσμικών Ακτίνων – Ανάπτυξη της Ερευνας

**1909** : Theodor Wulf : παρατηρεί ότι ο ιονισμός πέφτει από 6 ιόντα/ $\text{cm}^3$  καθώς ανέβαινε στον πύργο του Eiffel (330 m).

Αν ήταν γ-ακτίνες που προέρχονταν από την επιφάνεια της γης και ήταν οι πιο διεισδυτικές από τις μέχρι τότε γνωστές τότε αναμένονταν εκθετική μειωση .Η πυκνότητα των ιόντων θα περιοριζόταν στο μισό στο ύψος των 80 m.

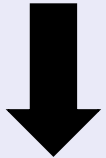
## ΑΠΟΤΕΛΕΣΜΑΤΑ ΜΗ ΣΥΜΒΑΤΑ !

*Note: at that time people were convinced that natural radioactivity was mostly due to gamma rays  
Taken as a confirmation of the dominant opinion:  
radioactivity came from the soil*



# Ανακάλυψη των Κοσμικών Ακτίνων – Ανάπτυξη της Ερευνας

1911: Pancini μετρήσεις σε βουνά, στο έδαφος και θαλασσα (βυθίζοντας ενα ηλεκτροσόπιο σε 3 μετρα βάθος παρατηρεί μειωση της ακτινοβολίας κατα 20%



Το εδαφος ΔΕΝ ειναι το μονο υπευθυνο για την ακτινοβολία



Στην ατμοσφαιρα υπάρχει μια σημαντική αιτία ιονισμού, η οποια προέρχεται απο κάποια διεισδυτική ακτινοβολία, ΑΝΕΞΑΡΤΗΤΑ απο την άμεση δράση ραδιενεργών ουσιών στο έδαφος

# Ανακάλυψη των Κοσμικών Ακτίνων – Ανάπτυξη της Ερευνας

1912: Victor Hess (1883-1964 Αυστριακός Φυσικός

Μετρήσεις με αερόστατα (7 πτήσεις 1911-1912).

- 1000m: ένταση ↓ αλλά > 1000 m ένταση ↑
- 7<sup>η</sup> πτήση (7-8-1912): ύψος 5350 m η ένταση πολλάπλασια!
- Ιδια ένταση ημέρα και νύχτα.
- Εξάρτηση από ατμοσφαιρικές παραμέτρους

Table 1.1. The dependence of ionization rate from the altitude. According to Hess (1912)

Average height from the ground, m	Observable ionization rate, ion.cm <sup>-3</sup> s <sup>-1</sup>		Average height from the ground, m	Observable ionization rate, ion.cm <sup>-3</sup> s <sup>-1</sup>	
	The first device	The second device		The first device	The second device
0	16.3 (18)*	11.8 (20)	1000-2000	15.9 (7)	12.1 (8)
Up to 200	15.4 (13)	11.1 (12)	2000-3000	17.3 (1)	13.3 (1)
200-500	15.5 (6)	10.4 (6)	3000-4000	19.8 (1)	16.5 (1)
500-1000	15.6 (3)	10.3 (4)	4000-5200	34.4 (2)	27.2 (2)

\* The figures in brackets mean the number of observations from which the average was obtained.

7 April 1912



To show how the ionizing radiation with height changes, V. Hess united 88 values of measurements of the ionization rate, performed at various heights during all seven flights (for each height from the several values received under various conditions, the average undertook). The data are resulted in Table 1.1.

# Ανακάλυψη των Κοσμικών Ακτίνων – Ανάπτυξη της Ερευνας

- Επιβεβαίωση από **Kolhoerlster** 9.000m 40φορες μεγαλύτερη από την επιφάνεια της θάλασσας ( $80 \text{ ions/cm}^3 \text{ s}$  από  $2 \text{ ions/cm}^3 \text{ s}$  ) !
- Συμφωνία με μετρήσεις από θαλάμους ιονισμού
- Ο συντελεστής εξασθένισης της ακτινοβολίας υπολογιζεται  $a=10^{-5} \text{ cm}^{-1}$  ενώ ο αντίστοιχος της ακτινοβολίας-γ είναι  $a= 4.5 \cdot 10^5 \text{ cm}^{-1}$  Αρα πιο διεισδυτική από γ της φυσικής ραδιενεργειας!

The radiation discovered was called “penetrating radiation” or “ ultra-gamma radiation” by V. Hess

## 1936 Nobel Prize

Ερώτημα: πρόλευση της “penetrating radiation”?

όχι από το έδαφος , εντος- εκτός ατμόσφαιρας ή από το διαστημα?

2012: 100 years anniversary!



Figure 1.11. During the Nobel ceremony at December 1936 in Stockholm: Victor Hess (right) and Carl Anderson (middle) are seated beside chemistry laureate Peter Debye (Carlson, 2012). From Dorman and Dorman (2014).

# Ανακάλυψη των Κοσμικών Ακτίνων – Ανάπτυξη της Ερευνας

**Απάντηση 1926:** Millikan and Cameron βασιζόμενοι σε πολλά πειραματικά δεδομένα υποστήριξαν ότι πρόκειται για ακτίνες-γ πιο διεισδυτικές από αυτές της φυσικής ραδιενέργειας οι οποιες ΔΕΝ προέρχονται από την ατμοσφαιρα αλλά από το διάστημα και εδωσε το όνομα **Κοσμικές Ακτίνες** Cosmic rays!!

From the lips of Dr. Millikan in Washington, I heard the thrilling story of his discovery. I found him a vital, dynamic man of sixty, whose handshake crushed my fingers and whose simple words carried the assurance of authority. That story was one of years of fruitless experiment, bitter disappointment, physical hardship, and final triumph. He told of struggles up rugged mountains on two continents to find and measure the elusive rays—then of a flash of inspiration only a few weeks ago that proved the rays the actual messengers of creation.



Dr. Millikan (left) and Dr. G. Harvey Cameron with electroscopes they sank in California and Bolivia mountain lakes to detect cosmic rays. The instruments were raised and examined through the eyepiece

air than at the bottom. He resolved to send a sounding balloon with instruments to record them clear to the top of the atmosphere.

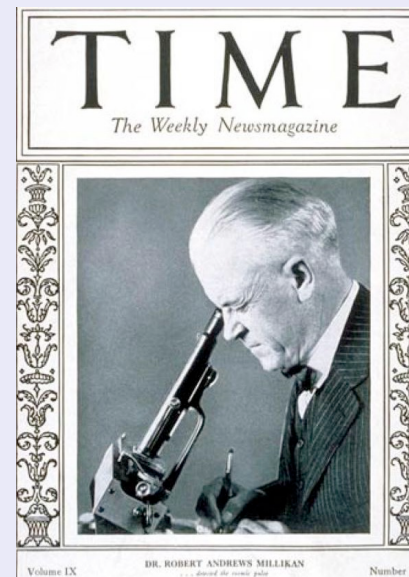
work apparently wasted.

"Then," said Millikan, "we saw what fools we had been to carry building materials up that mountain. Why build a wall, when you can bury an electroscope at the bottom of a mountain lake just as easily as you can hide it behind a lead screen, and the water of the lake will serve as the equivalent of many feet of lead. The next thing to do was to go at it sensibly. We would climb to the top of 15,000-foot Mount Whitney, in southern California—the highest mountain in the United States—and there, under its brow, would sink our electroscopes in the pure, snow-fed waters of Muir Lake."

With Dr. Cameron and a couple of students, Millikan toiled up Mount Whitney in August, 1925, and found the secret of the stars.

Two thousand feet from the top, they had to shoulder the boats, lumber to build rafts, and instruments their mules had carried.

Anxiously they sank their electroscopes. A cry of triumph echoed through the frosty air. There were cosmic rays—rays that pierced the water for fifty feet, downward, and then stopped!



# Ανακάλυψη των Κοσμικών Ακτίνων – Ανάπτυξη της Ερευνας

## Είδος ακτινοβολίας? Charged or neutral?

Κ.Α: γ-ακτινοβολία λόγω της υψηλής διεισδυτικότητας (οχι γνωστή η διεισδυτικότητα των σχετικιστικών φορτισμένων σωματιδίων)

Millikan: creation He atoms from atoms of H together with the generation of high energy gamma rays (in contradiction with physical laws, as this reaction can occur only at very high temperature and great density, e.g., inside the Sun and stars, but in this case  $\gamma$ -rays cannot go outside). About this interesting problem there was a famous public discussion between the two Nobel Prize laureates Arthur Compton and Robert Millikan, which was widely reported in many Newspapers.

Απάντηση 1929: Οι Both και Kolhorster αποδεικνύουν με σειρα πειραμάτων ( ανιχνευτές Geiger-Muller) ότι πρόκειται για σωματιδιακή ακτινοβολία, δηλαδή πολύ ενεργητικά σωματίδια.

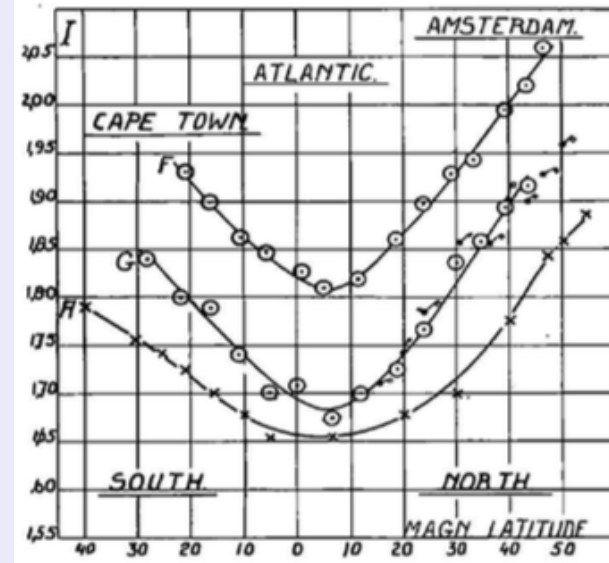
Bothe and Kolhörster (1929) for the first time came up with the idea that if CR at least partially consist of charged particles, as a result of rejecting action of a magnetic field of the Earth, the intensity of CR on poles should be much more than on the equator, i.e. there must exist a latitude effect of CR

# Ανακάλυψη των Κοσμικών Ακτίνων – Ανάπτυξη της Ερευνας

The geomagnetic effect in CR (the CR flux depends on latitude) was discovered accidentally in 1927 by the Dutch researcher J. Clay

Clay was measuring radiation in Java; in 1927 he carried his detector in a trip from Java to Genova

Confirmed by Clay himself in 1928 (Java to Amsterdam), by Kolhörster, by Rossi, by Compton+



# Ανακάλυψη των Κοσμικών Ακτίνων – Ανάπτυξη της Ερευνας

Επιβεβαιωση Arthur Compton organized a world wide survey of the dependence of cosmic intensity on geomagnetic latitude.

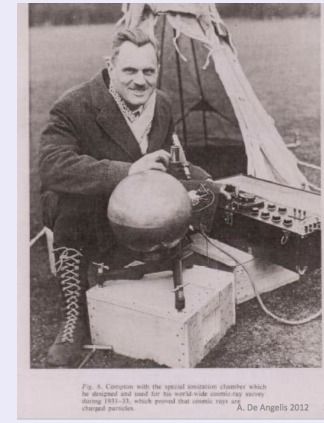
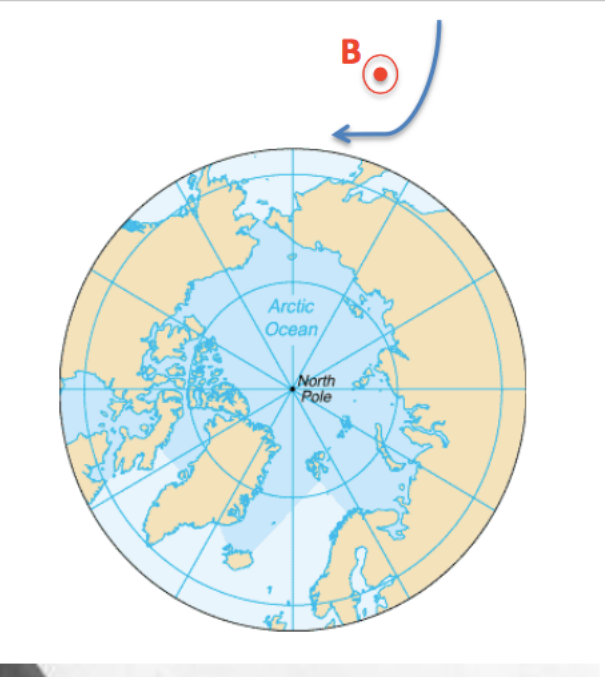


Fig. 8. Compton with the special ionization chamber which he designed and used for his world-wide cosmic-ray survey during 1934-1935 which proved that cosmic rays are charged particles.

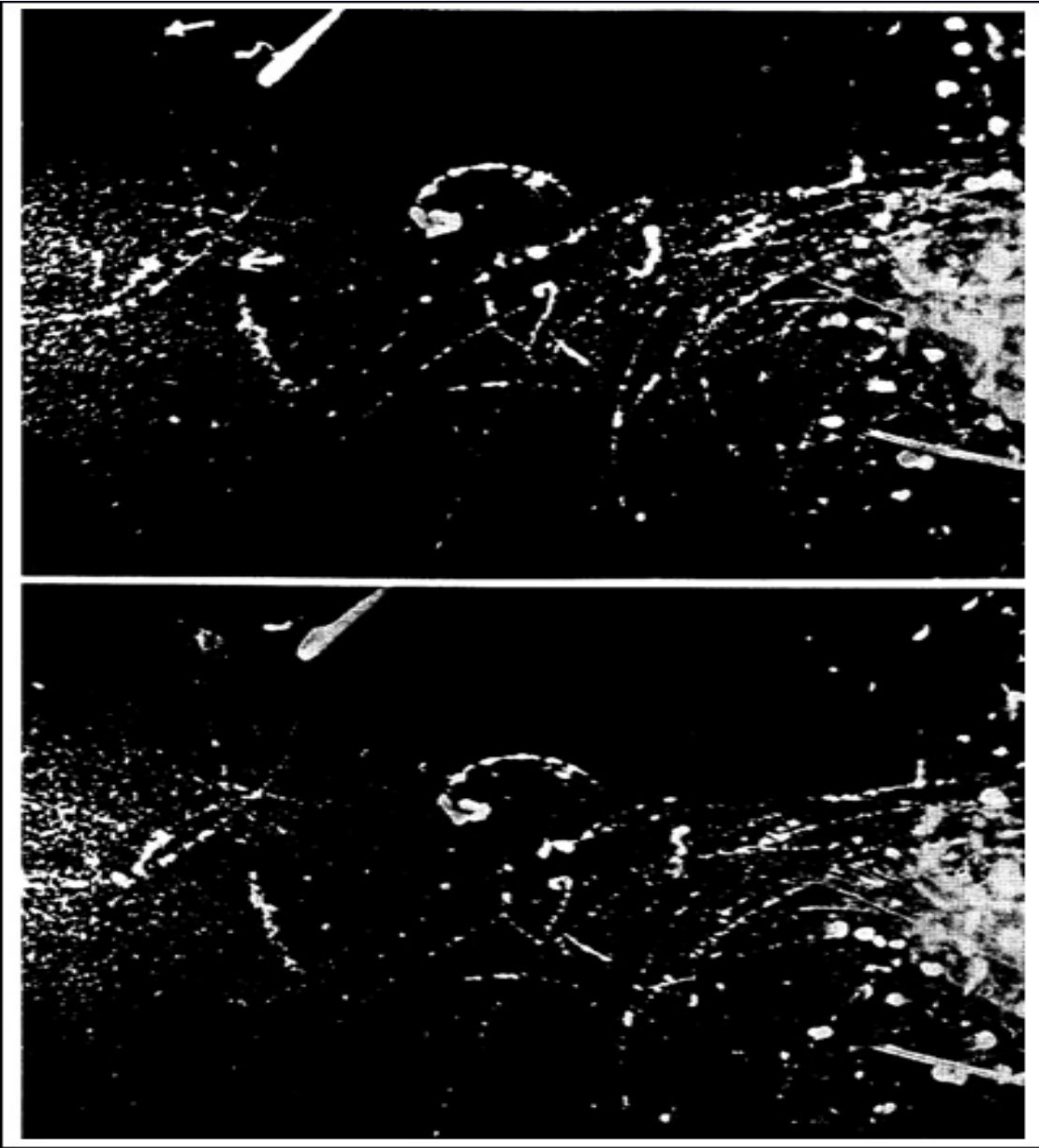
A. De Angelis 2012 31

Moreover, in the 1930s it was shown by investigations of West-East CR asymmetry that the majority of primary CR must be positive energetic particles. Later, in the 1940s – 1950s, it was established by direct measurements at high altitudes on balloons and rockets that, for the most part, cosmic rays are energetic protons, about 10% He nuclei, 1% more heavy nuclei, energetic neutrino, electrons, positrons, and energetic gamma rays.

# Ανακάλυψη των Κοσμικών Ακτίνων – Ανάπτυξη της Ερευνας

Για την περίοδο 1920-1950 η κοσμική ακτινοβολία είναι μια φυσική πηγή σωματιδίων πολύ ψηλών ενεργειών που είναι αρκετά ενεργητικά για να διεισδύσουν στον πυρήνα και αυτή είναι η βασική τεχνική με την οποία ανακαλύπτονται σωματίδια μέχρι το 1950. Οι πρώτες ανακαλύψεις έρχονται από βελτιώσεις σε παλαιότερα πειράματα του Skobeltsyn με θαλάμους αερίου και ακολουθούν και πολλά άλλα.

**Πρώτη ευκαιρία να παρατηρήσουμε αγνωστά σωματίδια πριν φταιξούμε το CERN, Fermilab και άλλους επιταχυντές!**



Πρώτη φωτογραφική καταγραφή άφιξης σωματιδίου από τον Skobeltsyn το 1929. Το ίχνος του σωματιδίου δηλώνεται από τα δύο άσπρα βέλη στην πάνω φωτογραφία

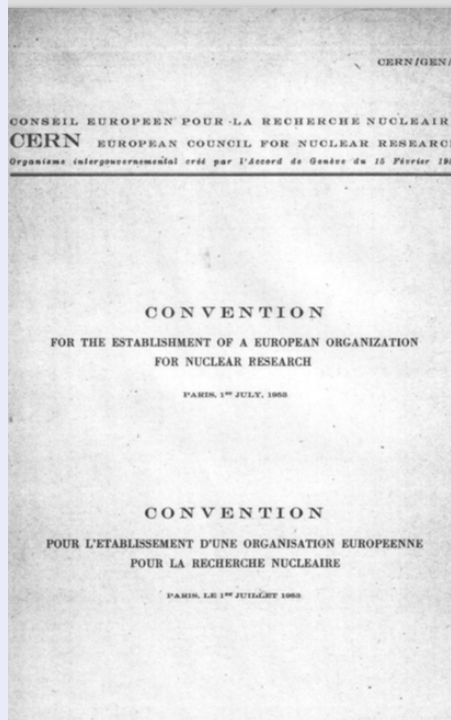
1930 : Anderson και Millikan χρησιμοποιώντας ηλεκτρομαγνήτη δέκα φορές ισχυρότερο από αυτόν του Skobeltsyn για την παρατήρηση τροχιών σωματιδίων μέσα σε θάλαμο αερίου παρατηρούν καμπυλωμένες τροχιές σωματιδίων που είναι ίδια με τα ηλεκτρόνια αλλά έχουν αντίθετο φορτίο.

1933 Πειράματα βασισμένα σε βελτιωμένη τεχνική των Blackett-Occhialini επιβεβαιώνουν την παραπάνω ανακάλυψη. Η τεχνική αυτή βασίζεται στο ότι ο θάλαμος αερίου ενεργοποιείται μόνο αφού είναι σίγουρο ότι μια κοσμική ακτίνα πέρασε. Με αυτόν τον τρόπο κατάφεραν να πάρουν μερικές πολύ καλές φωτογραφίες των “θετικών ηλεκτρονίων” (ποζιτρονίων). Η ανακάλυψη αυτή συμπίπτει χρονικά με τη θεωρία του ηλεκτρονίου του Dirac. Σε μια από τις πιο μεγάλες επεκτάσεις της κβαντικής μηχανικής, ο Dirac έδωσε τη σχετικιστική εξίσωση κύματος του ηλεκτρονίου που όχι μόνο προβλέπει το spin και τη μαγνητική ροπή αλλά την ύπαρξη επίσης ενός “αντισωματιδίου” του ηλεκτρονίου, του ποζιτρονίου.

Date	Particle	Source of radiation	Instrument used	Specific observation made
1900 . . .				
1930	$\bar{\nu}_e(\nu_e)$	nuclear reactor	liquid scintillator	Capture by proton
1931	$\nu_\mu$	accelerator	spark chamber	Production of $\mu$ and not $e$
1932				Ratio $e/m$
1933	$e^-$	discharge tube	fluorescent screen	Charge, mass
1934	$e^+$	cosmic rays	cloud chamber	Absence of radiation
1935	$\mu^+, \mu^-$	cosmic rays	cloud chamber	loss in Pb; decay at rest; mass
1936				$\pi - \mu$ decay at rest
1937				Nuclear interaction at rest
1938				Decay into $\gamma$ -rays
1939	$\pi^+$	cosmic rays	nuclear emulsion	$K_{\pi 3}$ decay
1940	$\pi^-$	cosmic rays	nuclear emulsion	Nuclear interaction at rest
1941	$\pi^0$	accelerator	counters	Decay into $\pi^+ \pi^-$ in flight
1942	$K^+$	cosmic rays	nuclear emulsion	Total mass of decay products
1943	$K^-$	cosmic rays	nuclear emulsion	Charges and masses of ions
1944				$e/m$ measured; annihilation
1945				Mass from elastic collisions
1946	$K^0$	cosmic rays	cloud chamber	Annihilation
1947				Decay to $p\pi^-$ in flight
1948	$\eta$	accelerator	bubble chamber	Decay to $\bar{p}\pi^+$ in flight
1949	$p$	discharge tube	spectroscopes; mass spectrometers	Decay at rest
1950				Decay to $n\pi^+$ in flight
1951	$\bar{p}$	accelerator	Cerenkov counter	Decay to $\Lambda\pi^0$ in flight
1952				Decay to $\Lambda\pi^-$ in flight
1953				Decay to $\Lambda\pi^0$ in flight
1954	$n$	radioactivity	ionization chamber	Decay to $\Xi^0\pi^-$ in flight
1955				Decay to $\Xi^0\pi^-$ in flight
1956	$\bar{n}$	accelerator	counters	Decay to $\Xi^0\pi^-$ in flight
1957	$\Lambda$	cosmic rays	cloud chamber	Decay to $\Xi^0\pi^-$ in flight
1958	$\bar{\Lambda}$	accelerator	nuclear emulsion	Decay to $\Xi^0\pi^-$ in flight
1959	$\Sigma^+$	cosmic rays	nuclear emulsion	Decay at rest
1960	$\Sigma^-$	accelerator	diffusion chamber	Decay to $\Xi^0\pi^-$ in flight
1961	$\Sigma^0$	accelerator	bubble chamber	Decay to $\Lambda\gamma$ in flight
1962	$\Xi^-$	cosmic rays	cloud chamber	Decay to $\Lambda\pi^-$ in flight
1963	$\Xi^0$	accelerator	bubble chamber	Decay to $\Lambda\pi^0$ in flight
1964	$\Omega^-$	accelerator	bubble chamber	Decay to $\Xi^0\pi^-$ in flight
1965	Very many “resonance” particles with lifetimes $\sim 10^{-23}$ to $10^{-19}$ s			Total mass of decay products
1966		accelerator	bubble chambers	Angles of meson emission
1967	“Fireballs”	cosmic rays	nuclear emulsion	Charge $\frac{1}{3}$ or $\frac{2}{3}e$
	Quarks?	not found with accelerators; being sought in cosmic rays		

# Ανακάλυψη των Κοσμικών Ακτίνων – Ανάπτυξη της Ερευνας

**1953** Προχωρεί η ανάπτυξη της τεχνολογίας των επιταχυντών, ώστε ενέργειες συγκρίσιμες με αυτές των KA να παράγονται στο εργαστήριο. Έτσι έχουμε δέσμες σωματιδίων γνωστής πια ενέργειας να κατευθύνονται σε στόχους. Το ενδιαφέρον στις κοσμικές ακτίνες στράφηκε στα προβλήματα της προέλευσης και της διάδοσης τους προς τη Γη.



**1953: research on cosmic rays is in CERN's constitution**

3. The basic programme of the Organization shall comprise:

(...)

- (c) The organization and sponsoring of international co-operation in nuclear research, including co-operation outside the Laboratory. This co-operation may include in particular:
  - (i) work in the field of theoretical nuclear physics;
  - (ii) the promotion of contacts between, and the interchange of, scientists, the dissemination of information, and the provision of advanced training for research workers;
  - (iii) collaboration with and advising of national research institutions;
  - (iv) work in the field of cosmic rays.

**Legacy from G-stack**

**1960** Ανιχνευτές σωματιδίων KA τοποθετούνται σε δορυφόρους και δίνουν πληροφορίες για την KA χαμηλών ενέργειών, καθώς η παρατήρηση για ψηλότερες ενέργειες γίνεται από το έδαφος μέσω των δευτερογενών σωματιδίων που παράγονται και φθάνουν στην επιφάνεια της Γης.

# Δορυφορικές Μετρήσεις

## Payload for Antimatter Matter Exploration and Light-nuclei Astrophysics) \_PAMELA

**PAMELA.** According to Piccardi et al. (1999), the PAMELA telescope will be aloft for at least 3 years in a polar orbit at about 700 km altitude. The main goals of the PAMELA experiment are the measurement of the antiproton and positron fluxes in CR, with large statistics in an energy range between 100 MeV and 150 GeV, and search for anti-nuclei, up to 30 GeV/n, with a sensitivity better than  $10^{-7}$  in the  $\overline{\text{He}}/\text{He}$  ratio (Simon, 2003; Amaldi et al., 2003). PAMELA will also study phenomena connected with Solar and Earth physics (Casolino and Mikhailov, 2003). The PAMELA telescope consists of a magnetic spectrometer, a TRD detector, an imaging electromagnetic calorimeter and a TOF system including anticoincidence detectors (see Figure 22.3).

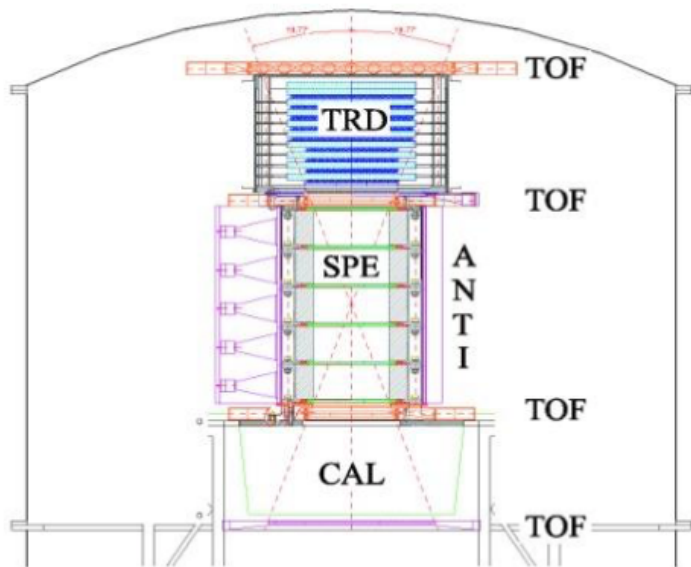


Figure 22.3. The PAMELA telescope (Piccardi et al., 1999). The main detectors are. transition radiation detector (TRD), permanent magnet spectrometer equipped with silicon micro strip detector (SPE) and a silicon/tungsten calorimeter (CAL). There are also a time of flight detector (TOF) and an anti-coincidence system (ANTI) made by plastic scintillators.

15 June 2006  
End 2016

Wizard collaboration, which includes Russia, Italy, Germany and Sweden and has been involved in many satellite and balloon-based cosmic ray experiments such as Fermi-GLAST.

# Δορυφορικές Μετρήσεις

2011

International Space Station (ISS).

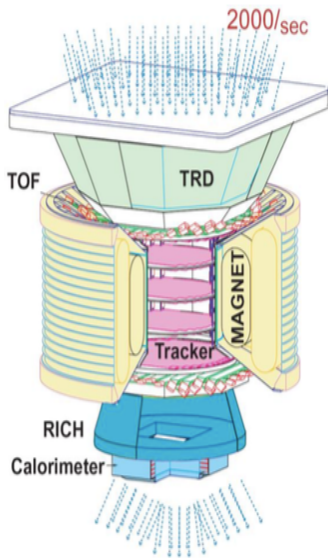


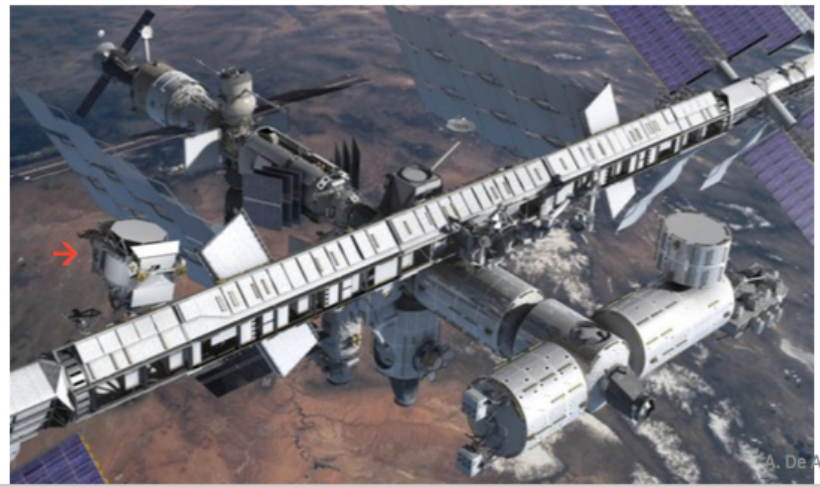
Figure 22.6. The Alpha Magnetic Spectrometer, AMS-02 (Gentile, 2003). The detector components are. Transition Radiation Detector (TRD), Time-of-flight Scintillators (TOF), Silicon Tracker (Tracker), Ring Imaging Cherenkov detector (RICH), lead/plastic fiber calorimeter (ECAL), the anticoincidence counters are located in the inner side in the magnet. The arrows represent the acceptance of CR particles,  $\sim 2000 \text{ s}^{-1}$ .

Alpha Magnetic  
Spectrometer



Launched May 16, 2011

Measures in fine detail cosmic rays < some  $10^{11} \text{ eV}$  : dark matter, antimatter, exotic particles



A. De Angeli

# Επίγειες Μετρήσεις

## WORLD-WIDE NETWORK OF IONIZATION CHAMBERS

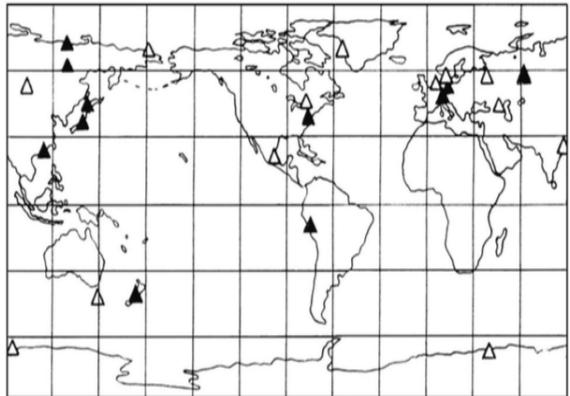
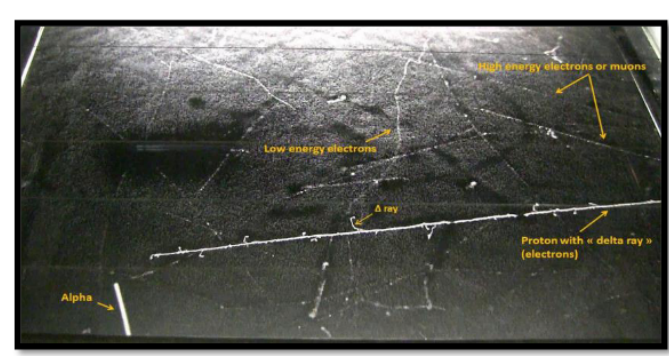


Figure 16.3. Global distribution of ionization chambers shielded by 10.7 cm Pb with compensation. Black triangles. chambers operating in 1975, white triangles. chambers operating before 1972. From Dorman, M1975a.

Λίγοι συνεχίζουν σημερα, αλλες τεχνικές.

Θαλαμοι ιονισμού—απλοί ανιχνευτές  
αερίων \_μετρηση μέσω ιονισμού



Αναγνωριση τροχιών σωματιδίων

**Ανιχνευτες Cherenkov:** Τα σχετικιστικά ηλεκτρόνια και ποζιτρόνια που παράγονται στον ατμοσφαιρικό καταιγισμό προκαλούν εκπομπή **ακτινοβολίας Cherenkov** στο ορατό όταν διαδίδονται μέσα σε μέσο με ταχύτητα μεγαλύτερη από αυτή του φωτός. Οι σειρές ανιχνευτών Cherenkov συλλέγουν αυτούς τους παλμούς φωτός από ένα πολύ μεγάλο όγκο (χιλιάδες κυβικά χιλιόμετρα). Μια παρόμοια τεχνική χρησιμοποιείται επίσης προκειμένου να μελετηθούν τα νετρίνα όταν παλμοί φωτός Cherenkov παράγονται στο νερό (π.χ Deep Underwater Muon And Neutrino Detector (DUMAND)) ή στον πάγο (e.g. IceCube Neutrino Observatory or Antarctic Muon And Neutrino Detector Array (AMANDA)).

# Επίγειες Μετρήσεις

## WORLD-WIDE MUON TELESCOPE NETWORK

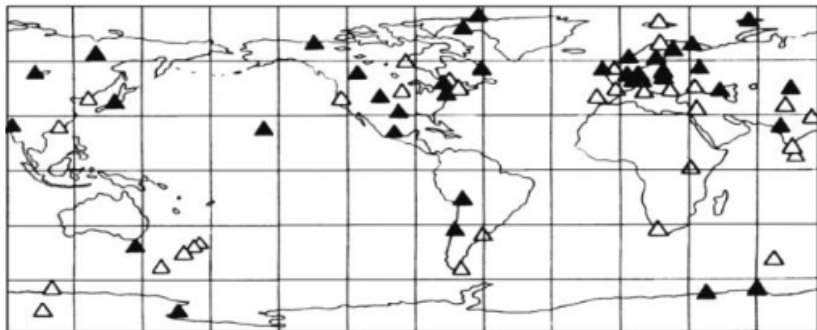


Figure 17.7. Planetary distribution of ground based muon telescopes. Black triangles – operating in 1975, white triangles – operating before 1972. From Dorman, M1975a.

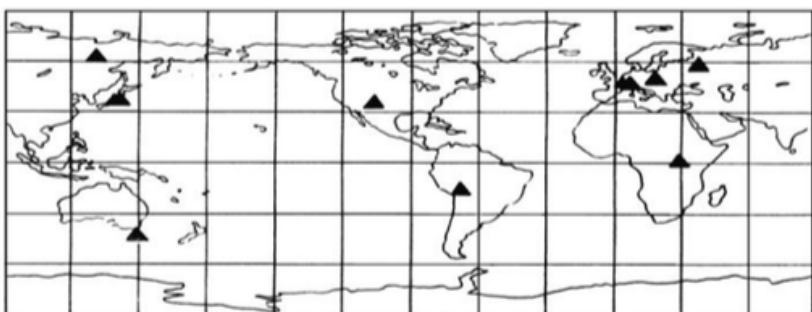


Figure 17.8. Planetary distribution of underground muon telescopes. Black triangles – operating in 1975. From Dorman, M1975a.

επιγειοι

Πρωταρχικοί πυρήνες κοσμικής ακτινοβολίας με ενέργεια  $>4$  GeV έχουν την απαιτούμενη ενέργεια προκειμένου να διεισδύσουν στην ατμόσφαιρα. Η ανίχνευση των μιονίων γίνεται εφικτή, για παράδειγμα, με την χρήση του απαριθμητή Geiger-Müller ή του απαριθμητή σπινθηρισμών.

υπόγειοι

# Επίγειες Μετρήσεις

## WORLD-WIDE SOLAR NEUTRON TELESCOPE NETWORK

**Table 19.1. The first SNT worldwide network. According to Tsuchiya et al. (2001a,b)**

Location	Height [g/cm <sup>2</sup> ]	Longitude	Latitude	Area [m <sup>2</sup> ]	Start of observations
Switzerland (Gornergrat)	700	7.8°E	46.0°N	4	January 1998
Armenia (Aragats)	700	40.5°E	44.2°N	4	June 1997
Tibet (Yangbajing)	600	90.5°E	30.0° N	9	September 1998
Japan (Mt. Norikura)	730	137.5°E	36.1°N	1	October 1990
				64	October 1996
USA (Mauna Kea)	610	203.7°E	19.8°N	8	April 1997
Bolivia (Mt. Chacaltaya)	540	292°E	16.2°S	4	September 1992

All SNT developed in Japan have a target layer, which consists of a thick scintillator or wood. Incoming neutrons are converted into protons by nuclear interactions in the target. Recoil protons, which undergo a charge exchange process, tend to be scattered in the direction of incident neutrons, almost conserving the energy of the incident neutrons.

# Επίγειες Μετρήσεις

## EXPERIMETS ULTRA HIGH ENERGY COSMIC RAYS

### Pierre Auger Observatory

greatest recent EAS Project.

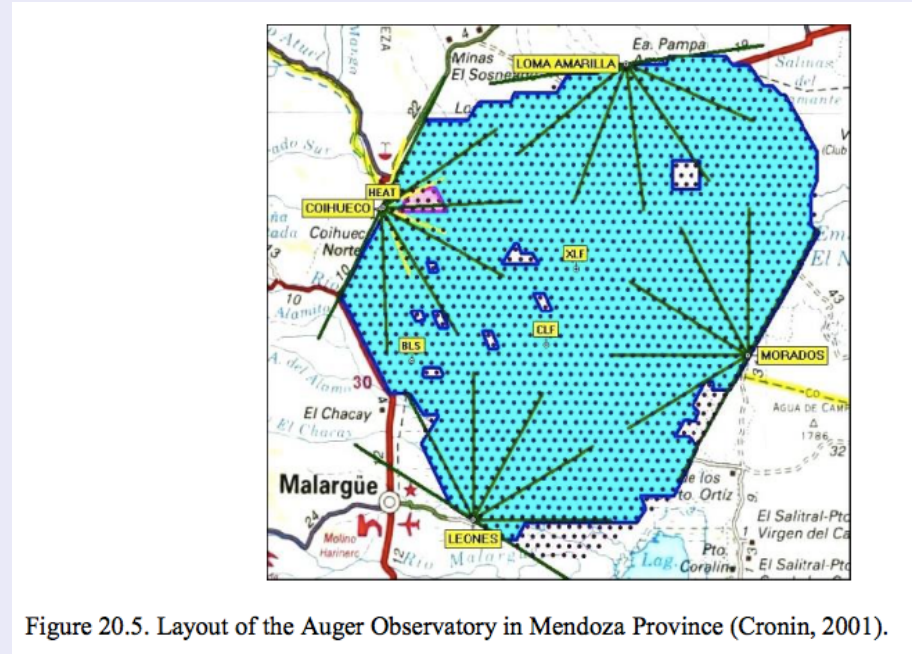
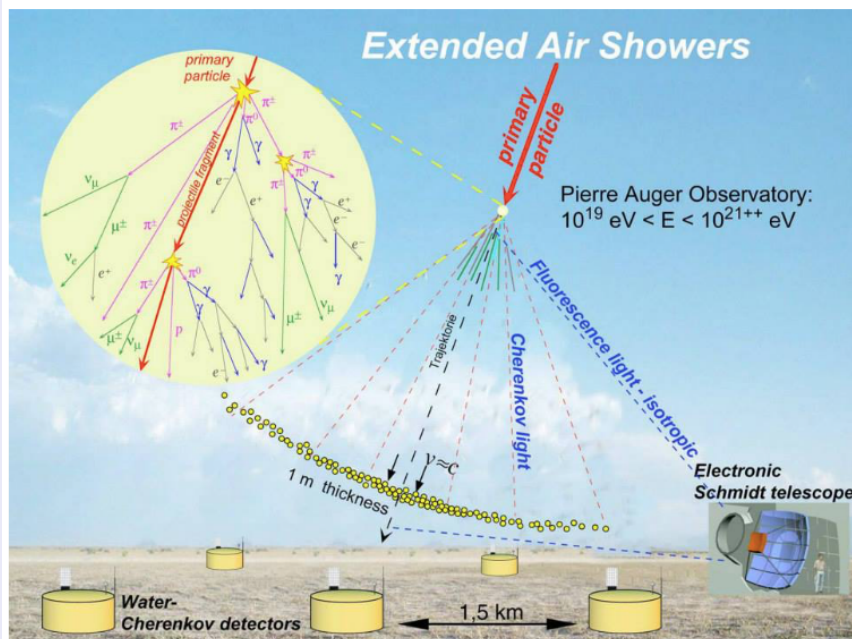


Figure 20.5. Layout of the Auger Observatory in Mendoza Province (Cronin, 2001).

The flux of CR is about  $1/\text{km}^2/\text{century}/\text{sr}$  above  $10^{20}$  eV so a large detection area of  $3,000 \text{ km}^2$  has been chosen for each Observatory

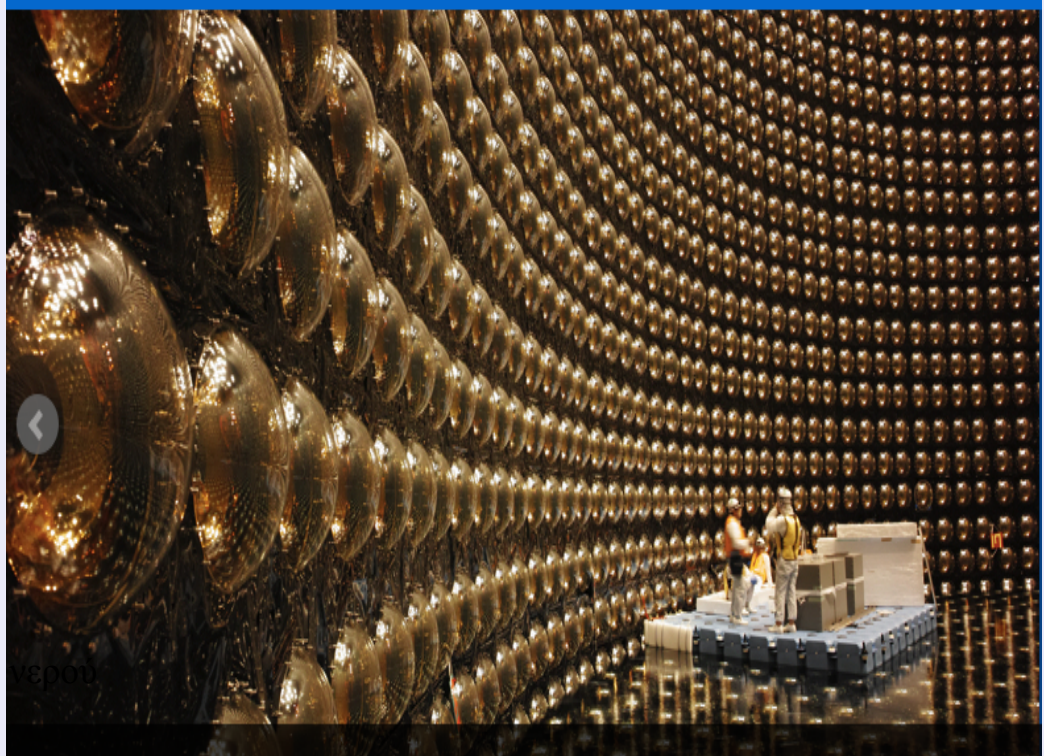
# Επίγειες Μετρήσεις

## NEUTRINO EXPERIMENTS

### Super-Kamioka Neutrino Detection Experiment,

εγκατεστημένος χίλια μέτρα κάτω από την επιφάνεια του εδάφους, στο ορυχείο Μοζούμι. Σχεδιάστηκε για την ανίχνευση νετρίνων υψηλής ενέργειας και τη μελέτη τόσο των ηλιακών, όσο και των ατμοσφαιρικών νετρίνων.

κυλινδρική δεξαμένη με 50 χιλιάδες τόνους καθαρού νερού  
13 χιλιάδες Cherenkov



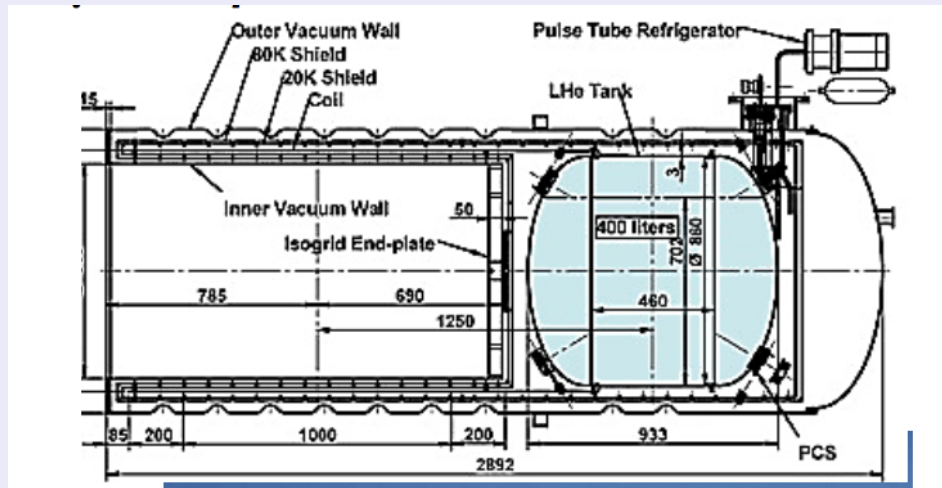
K2K is an international collaboration of physicists, organized to study the properties of the subatomic particles called neutrinos

# Επίγειες Μετρήσεις

## Ανιχνευτές σε Ballons

Τα σύγχρονα μπαλόνια μεταφέρουν ανιχνευτές σε ύψη 40-70 km.

**BESS (Balloon Borne Experiment with Superconducting Solenoidal Spectrometer)**



Σ' αυτά τα μεγάλα ύψη, η ατμόσφαιρα πάνω από το μπαλόνι είναι αμελητέα για την Κοσμική Ακτινοβολία, κι επομένως οι ανιχνευτές που φέρουν τα μπαλόνια παρατηρούν απ' ευθείας τα πρωταρχικά σωμάτια της Κοσμικής Ακτινοβολίας. Υπ' αυτήν την έννοια μοιάζουν με τους δορυφόρους χαμηλής τροχιάς, αλλά είναι πολύ πιο φτηνοί και πιο εύκολος ο χειρισμός τους.

Εξωτερικοί σπινθηριστές μετρούν χρόνο πτήσης, θάλαμοι ολίσθησης μετρούν την τροχιά. Ένα ελαφρύ υπεραγώγιμο πηνίο, δημιουργεί μαγνητικό πεδίο, εσωτερικοί θάλαμοι ολίσθησης για τον υπολογισμό της ορμής.



# NEUTRON MONITOR NETWORK

Despite their decades of tradition, ground based neutron monitors (NMs) remain the state-of-the-art instrumentation for measuring Cosmic Rays.

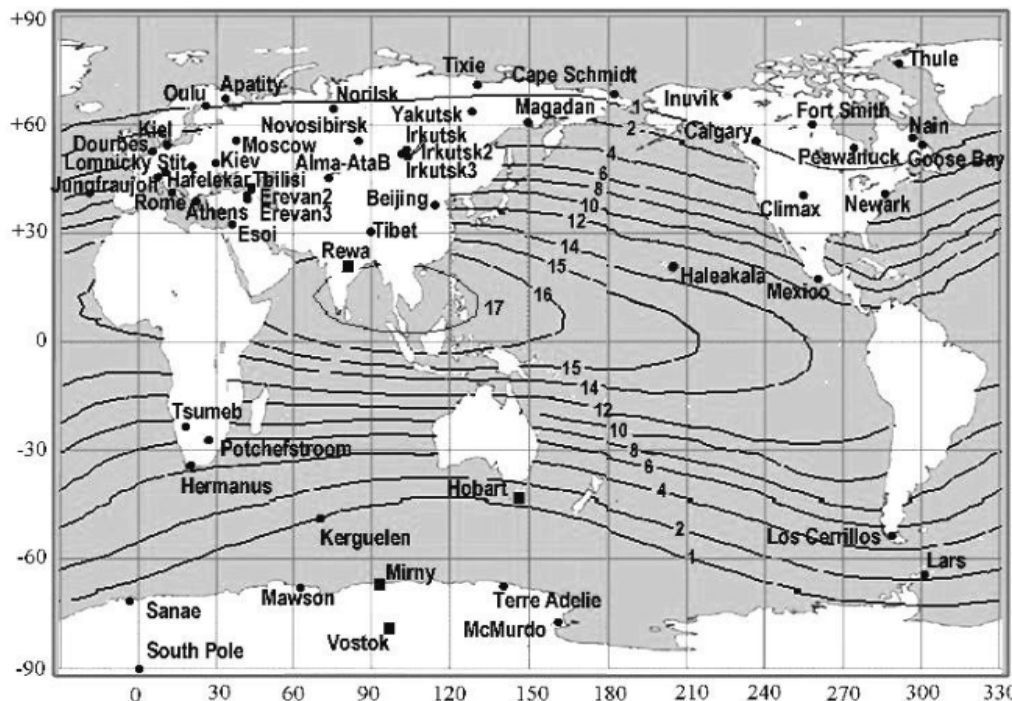


Figure 18.2. The planetary distribution of neutron monitors of both types at 2002 (Belov and Eroshenko, 2002). Also shown curves of cutoff rigidities (in GV).

75 χρονια συνεχών  
μετρήσεων

1997 τεχνολογία  
πραγματικου  
χρόνου.

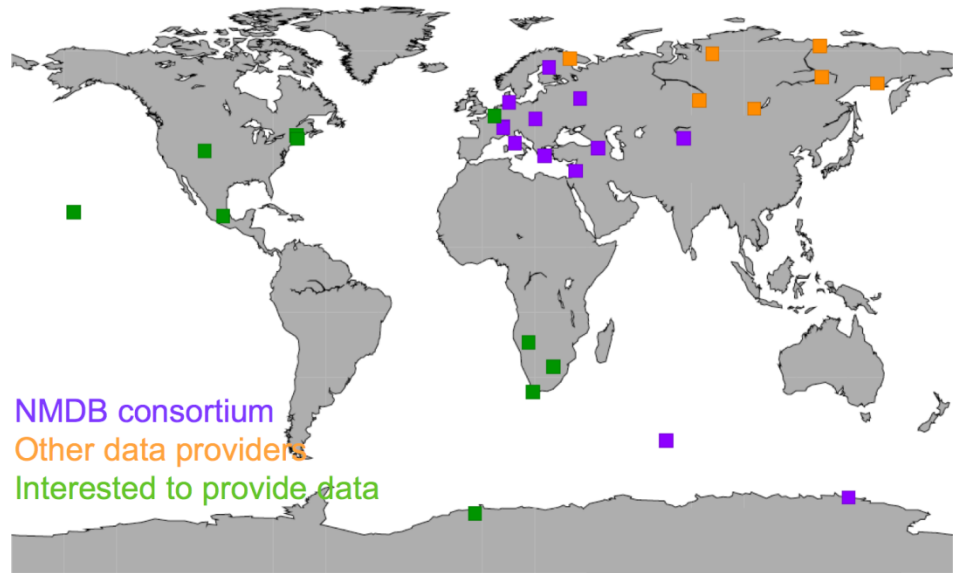
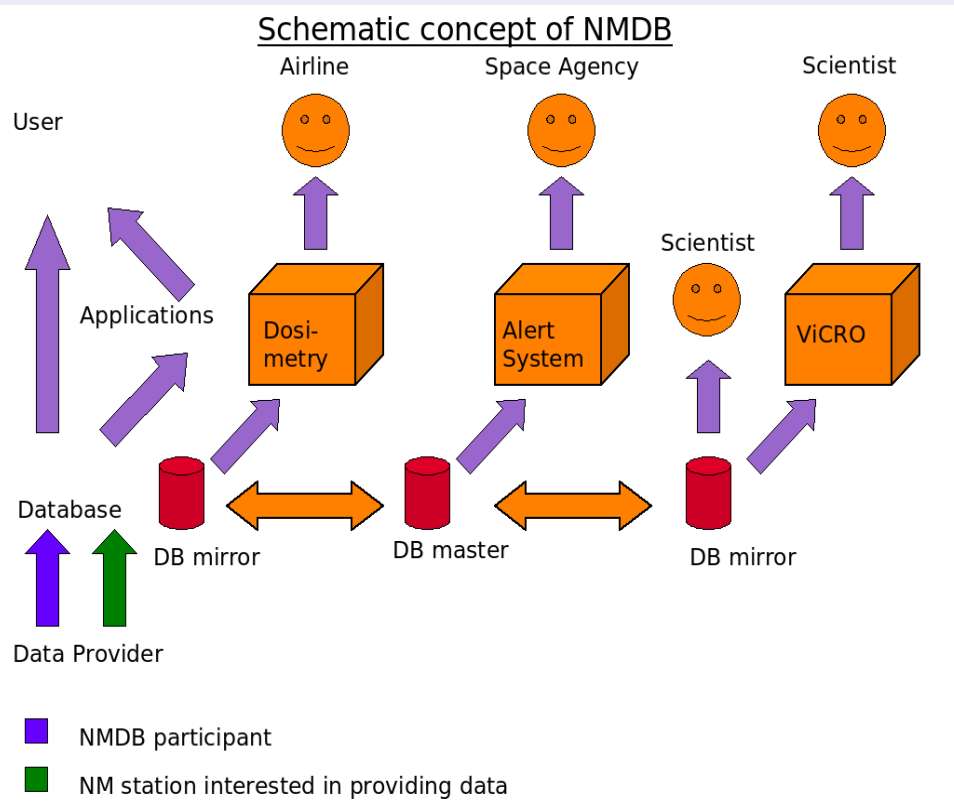
# Διεθνής Βάση υψηλής ανάλυσης δεδομένων Μετρητών Νετρονίων High Resolution Neutron Monitor Database (NMDB)

<http://www.nmdb.eu>

- 12 χώρες
- 28 σταθμοί Κ.Α. σε πραγματικό χρόνο



# Neutron Monitor Database (NMDB)



<http://www.nmdb.eu>



- 52 stations
- 22 in quasi real-time mode

# ΠΙΘΑΝΟΙ ΧΡΗΣΤΕΣ



Power Supply



Airway Co



Telecommunications



Space Agencies

Satellite Operation Centers



Scientists



Whoever interested

